

СПЕКТРАЛЬНО-ЛЮМИНЕСЦЕНТНЫЕ И ГЕНЕРАЦИОННЫЕ СВОЙСТВА 3-(БЕНЗОТИАЗОЛИЛ-2)-7-ГИДРОКСИ- И -8-ГИДРОКСИКУМАРИНОВ

© 2006 г. Т. Н. Копылова*, Л. Г. Самсонова*, Р. М. Гадиров*,
О. В. Шаблыкина**, В. П. Хиля**, В. В. Ищенко**

*Сибирский физико-технический институт, 634050 Томск, Россия

**Киевский национальный университет им. Тараса Шевченко, 01033 Киев, Украина

Поступила в редакцию 04.08.2004 г.

В окончательной редакции 30.03.2005 г.

Спектрально-люминесцентные свойства 3-(бензотиазолил-2)-7- и -8-гидроксикумаринов и их протолитических форм исследованы экспериментально и с помощью квантово-химических расчетов с использованием метода частичного пренебрежения дифференциальным перекрыванием (ЧПДП) со спектроскопической параметризацией. Проведен анализ фотофизических процессов, из которого следует, что чрезвычайно слабая флуоресценция 3-(бензотиазолил-2)-8-гидроксикумарина обусловлена интеркомбинационной конверсией энергии возбуждения. Введение в соседнее (8-е) с гидроксигруппой положение молекулы протоноакцепторного заместителя приводит к внутримолекулярному переносу протона с образованием цвиттериона, причем в возбужденном состоянии S_1 вероятность переноса протона возрастает. Исследована генерационная способность протолитических форм молекул при возбуждении эксимерным XeCl -лазером. Показано, что соединения в форме аниона обладают наибольшей эффективностью генерации лазерного излучения.

ВВЕДЕНИЕ

Кумарины давно применяются прежде всего в качестве лазерных красителей сине-зеленого диапазона. Однако в последнее время этот класс соединений находит применение и в других областях науки и техники. Так, например, некоторые бензотиазолилзамещенные гидроксикумарины проявляют биологическую активность на грамположительные и грамотрицательные бактерии. Имеются литературные данные, что представленные соединения обладают антикоагуляционной активностью, что применяется для терапии тромбозов [1]. Многие красители этого класса используются в качестве флуоресцентных меток. Все большее применение находят лазерные красители в оптоэлектронике. И этим использование производных кумаринов не ограничивается. Однако несмотря на широкую популярность, этот класс соединений все еще остается мало изученным.

ОБЪЕКТЫ ИССЛЕДОВАНИЯ И МЕТОДИКА ЭКСПЕРИМЕНТА

В данной работе исследовались молекулы 3-(бензотиазолил-2)-7-гидроксикумарина (К1), 3-(бензотиазолил-2)-7-метоксикумарина (К2), 3-(бензотиазолил-2)-8-гидроксикумарина (К3) и 3-(бензотиазолил-2)-7-гидрокси-8-диизобутиламинометилкумарина (К4), имеющие структурные формулы, изображенные на рис. 1.

Соединения К1–К4 принадлежат к одному структурному типу и отличаются только положением и природой заместителей. Следовательно, различие в спектрально-люминесцентных свойствах исследуемых кумаринов будет определяться свойствами заместителей. Растворимость соединений К1–К4 во многих растворителях весьма низка. Поэтому мы ограничились апротонным диметилсульфоксидом (ДМСО) и протонодонорным этанолом, причем этанольные растворы готовились из матричных диметилсульфоксидных растворов. Путем изменения pH раствора были образованы анионные (А) и катионные (К) формы соединений.

Спектры поглощения соединений регистрировались на спектрофотометре Specord M40, спектры флуоресценции – на спектрофлуориметре Hitachi 850. Генерационные свойства соединений исследовались в ДМСО при концентрации 2×10^{-3} М при накачке эксимерным XeCl^* -лазером с $\lambda = 308$ нм. Накачка проводилась в поперечном варианте, время импульса возбуждения 15 нс, энергия в импульсе ≈ 25 мДж. Спектры лазерно-индцированной люминесценции (ЛИФ) и вынужденного излучения регистрировались с помощью лазерного спектрометра, разработанного фирмой “Реал” и позволяющего регистрировать спектр излучения за один импульс возбуждения.

Для более глубокого понимания особенностей фотопроцессов, протекающих в исследуемых мо-

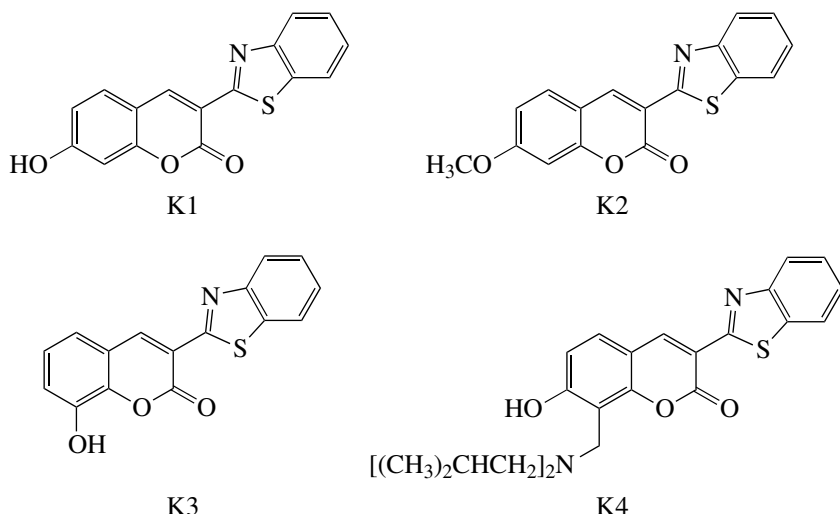
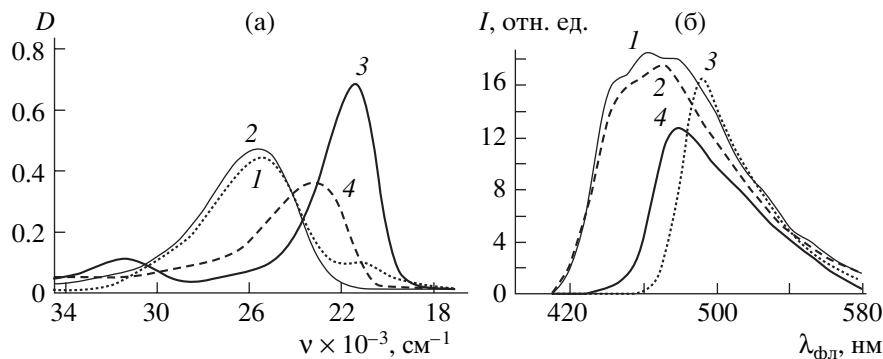


Рис. 1. Структурные формулы исследованных соединений.

Рис. 2. Спектры поглощения (а) и флуоресценции (б) К1 ($C = 10^{-5}$ М) в этаноле (1), в этаноле + HCl 10^{-4} М, а также в ДМСО (2), в этаноле + NaOH 10^{-4} М (3) в этаноле + HCl 1.3 М (4).

лекулах, проведены квантово-химические исследования при помощи пакета программ, основанного на полуэмпирическом методе ЧПДП со спектроскопической параметризацией [2], позволяющей оценивать энергию возбужденных состояний и их орбитальную природу. Также рассчитаны константы фотофизических процессов, происходящих в молекулах, с использованием методики расчета, развитой в [3–5].

РЕЗУЛЬТАТЫ И ОБСУЖДЕНИЕ

Спектральные свойства

В спектре поглощения К1 в ДМСО длинноволновая полоса лежит в области 25200 см^{-1} . В этаноле помимо этой полосы присутствует более длинноволновая (21600 см^{-1}), природу которой выясняется при подщелачивании растворов (рис. 2а). Гидроксигруппа в 7-м положении соединения К1 обладает свойствами слабой органической кислоты, вследствие чего легко взаимодействует со ще-

лочами с образованием аниона А. При концентрации щелочи $\text{NaOH} \sim 10^{-3}$ М К1 в растворе находится полностью в ионизированной форме А с максимумом поглощения на 21600 см^{-1} . Наличие избыточной электронной плотности в анионе приводит к понижению его энергии возбуждения и увеличению интенсивности поглощения в два раза по сравнению с нейтральной формой (НФ) (табл. 1). Подкисление исходных растворов соляной кислотой ($C_{\text{HCl}} \sim 10^{-4}$ М) сопровождается исчезновением полосы поглощения 21600 см^{-1} вследствие смещения ион-нейтрального равновесия в сторону НФ соединения.

Соединение К2, у которого в 7-м положении гидроксигруппа замещена на метоксигруппу, не образует анионную форму А, и полоса поглощения с максимумом на 25200 см^{-1} принадлежит НФ.

В кислых растворах соляной кислоты (~ 1.3 М в этаноле и ~ 3 М в ДМСО) соединение К1 переходит в форму катиона К, поглощение которого сдвинуто в красную сторону относительно поло-

Таблица 1. Экспериментальные и рассчитанные спектральные характеристики протолитических форм кумаринов

Соединение	Форма молекулы	Эксперимент		Расчет		
		энергия $S_0 \rightarrow S_1, \text{ см}^{-1}$	$\epsilon, M^{-1} \text{ см}^{-1}$	энергия (см^{-1}) и тип $S_0 \rightarrow S_1$ -перехода	сила осциллятора	дипольный момент, Д
						S_0
K1	HФ	25200	37000	27700 ($\pi\pi$)	1.11	9.4
	A	20700	74000	23500 ($\pi\pi$)	1.16	6.9
	K(N)	23000	43000	23800 ($\pi\pi$)	1.12	11.5
	K(O)	—	—	25000 ($\pi\pi$)	0.70	6.8
K2	HФ	25200	35000	27500 ($\pi\pi$)	1.26	5.3
	K(N)	23500	35000	24500 ($\pi\pi$)	1.27	12.4
K3	HФ	27400	40000	29300 ($\pi\pi$)	1.00	3.9
	A	—	—	22000 ($\pi\pi$)	0.06	7.1
	K(N)	25400	48000	26000 ($\pi\pi$)	0.97	15.9
	K(O)	—	—	25300 ($\pi\pi$)	0.46	17.6
K4	HФ	25200	38000	27500 ($\pi\pi$)	1.15	9.5
	A	20050	80000	22900 ($\pi\pi$)	1.11	7.0
	K(N)	23600	45000	23300 ($\pi\pi$)	1.14	10.3
	K(O)	—	—	24300 ($\pi\pi$)	0.69	6.2
	TM1	21300	—	25900 ($\pi\pi$)	1.06	13.1
	TM2	—	—	21400 ($\pi\pi$)	1.34	13.6
	TM3	—	—	22300 ($\pi\pi$)	0.55	9.4

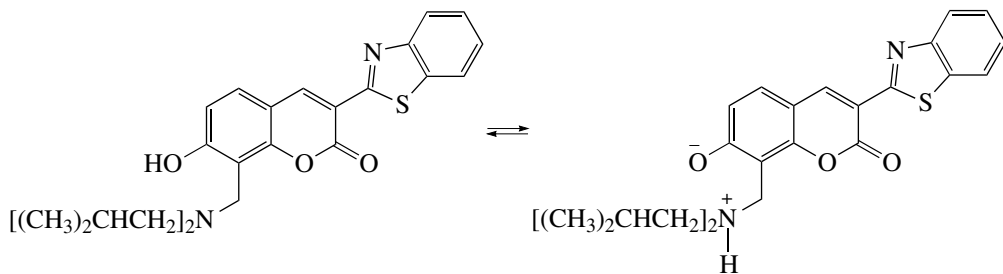
Примечание. K(N) – катион по азоту бензоизоцелевого цикла, K(O) – катион по карбонильному кислороду, TM1 – таутомер по азоту заместителя в 8-м положении, TM2 – таутомер по бензоизоцелевому азоту, TM3 – таутомер по карбонильному кислороду.

сы HФ в область 23000 см^{-1} в обоих растворителях. На рис. 2а представлены спектры поглощения K1 и его протолитических форм в этанольных растворах, образованных изменением pH раствора.

Спектры флуоресценции растворов K1 в этаноле и в ДМСО представлены на рис. 2б. Видно, что форма полос в этих растворителях (кривые 1 и 2) различается. В этаноле присутствует плечо в области 485 нм. Поскольку оно исчезает при слабом подкислении раствора и форма полосы люминесценции становится идентичной таковой в ДМСО, то можно заключить, что K1 в ДМСО излучает в HФ, а в этаноле излучение принадлежит как HФ, так и A. У соединения K2 отсутствует это плечо, что также подтверждает его принадлежность аниону у соединения K1. Излучение аниона (при $C_{\text{NaOH}} = 3 \times 10^{-4} \text{ M}$) и катиона (при $C_{\text{HCl}} = 1.3 \text{ M}$) представлено кривыми 3 и 4 соответственно. Следует отметить, что интенсивности флуоресценции всех протолитических форм K1 близки.

Соединение K4 отличается от K1 наличием в 8-м положении протяженного заместителя. Этот заместитель,

хотя и не находится в сопряжении с основом молекулы, привносит ряд особенностей в ее спектрально-люминесцентные свойства. Как видно из рис. 3а (кривая 1), в длинноволновой области спектра имеется две полосы, причем при подкислении раствора ($C_{\text{HCl}} \sim 10^{-2} \text{ M}$) более красная полоса исчезает, как и в случае с K1 (рис. 2а, кривая 2). Образуется полоса, которая как по положению, так и по форме близка к поглощению HФ K1. Следовательно, K4 в ДМСО и в этаноле присутствует в виде равновесного состояния двух или более форм. Вместе с тем флуоресценция этих растворов сильно отличается от таковой для K1 и по форме полосы, и по положению (рис. 3б, кривая 1). Максимум флуоресценции K4 в ДМСО лежит в области 495 нм, а в этаноле – в области 485 нм. В подкисленных растворах (рис. 3б, кривая 2) полоса флуоресценции сдвигается в коротковолновую область и соответствует излучению HФ молекулы. Флуоресценция при $\lambda = 495 \text{ нм}$ принадлежит скорее всего цвиллерону (TM1), образованному вследствие переноса протона от гидроксильной группы к аминному азоту заместителя в 8-м положении согласно реакции



То, что максимум поглощения в области 21300 см^{-1} (рис. 3а, кривая 1) и флуоресценция при $\lambda = 495 \text{ нм}$ (рис. 3б, кривая 1) принадлежат не аниону K4 (по аналогии с K1), а цвиттериону, говорит следующее. Добавление небольшого количества в раствор щелочи ($C_{\text{NaOH}} = 3 \times 10^{-4} \text{ M}$), переводящее молекулы в форму аниона, поглощение которого лежит в области $\nu = 20400 \text{ см}^{-1}$ (рис. 3а, кривая 3), приводит к изменению окраски раствора из зеленого в желтый и появлению во флуоресценции более длинноволновой полосы с $\lambda = 515 \text{ нм}$ (рис. 3б, кривая 3). При меньших концентрациях щелочи наблюдается двухполосная флуоресценция при $\lambda = 495$ и 515 нм , принадлежащая TM1 и А соответственно. Отметим, что в ДМСО и этаноле, несмотря на присутствие в основном состоянии некоторой доли НФ молекулы, флуоресцирует практически только TM1 – при возбуждении в области поглощения как НФ, так и TM1. Следовательно, в возбужденном состоянии скорость переноса протона гораздо выше, что логично, поскольку при возбуждении связь O–H ослабевает.

Как отмечалось выше, малые добавки кислоты приводят к смещению ион-нейтрального равновесия K4 в сторону НФ, спектр поглощения которой почти идентичен НФ K1 (рис. 3а, кривая 2). В более кислых средах K4 находится в форме катиона, поглощение которого, как и в случае K1,

лежит между НФ и А (рис. 3а, кривая 4). Полоса флуоресценции катиона отличается от таковой для K1 по форме и полуширине (ср. кривые 4 на рис. 2б и 3б). Флуоресценция имеет два явно выраженных максимума и шире полосы флуоресценции катиона K1 почти в 1.5 раза. Возможно, что в возбужденном состоянии протонирование K4 происходит одновременно по двум центрам. Наиболее вероятными центрами протонирования оксикумаринов K1 и K4 помимо аминного азота заместителя в 8-м положении соединения K4 являются карбонильный кислород и азот бензотиазольного цикла. Однако известно [6, 7], что карбонильный кислород протонируется достаточно трудно и только при высоких концентрациях кислоты вследствие сильного сольватирующего эффекта этого центра растворителем. Таким образом, катион образуется скорее всего по азоту бензотиазольного цикла, но для K4 в возбужденном состоянии добавляется еще протонирование по азоту заместителя в 8-м положении молекулы. Следует отметить, что все протолитические формы для K1 и K4 хорошо флуоресцируют, однако интенсивность излучения аниона K4 в одинаковых экспериментальных условиях примерно в 5 раз ниже, чем у аниона K1.

Спектрально-люминесцентные свойства K3 заметно отличаются от таковых для K1 и K4. Он поглощает свет в более коротковолновой област-

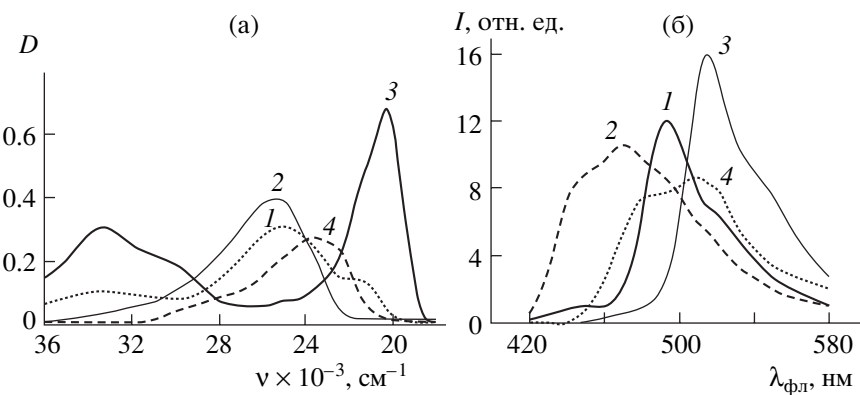


Рис. 3. Спектры поглощения (а) и флуоресценции (б) K4 ($C = 10^{-5} \text{ M}$) в ДМСО (1), в ДМСО + HCl 10^{-2} M (2), в ДМСО + NaOH $3 \times 10^{-4} \text{ M}$ (3), в ДМСО + HCl 3 М (4).

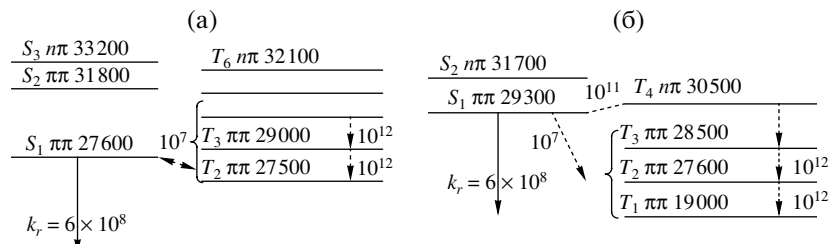


Рис. 4. Схема электронно-возбужденных состояний молекул с плоским строением: а – К1, К4, б – К3. Положение уровней в см^{-1} , константы скоростей переходов в s^{-1} .

ти (табл. 1). Это связано с тем, что гидроксильная группа в положении 8 в отличие от таковой в положении 7 не сопрягается с концевой карбонильной группой основного хромофора. Поэтому кумарин К3 имеет более короткий хромофор, а следовательно, и более коротковолновое поглощение с $\nu = 27400 \text{ см}^{-1}$. Электронные спектры К3 не изменяются при добавлении щелочи, т.е. образование анионной формы этой молекулы затруднено. В очень кислых растворах при содержании $\text{HCl} \sim 30\%$ в ДМСО образуется катион с полосой поглощения $\nu = 25400 \text{ см}^{-1}$. В этанольных растворах катион образуется при концентрации кислоты вдвое меньшей.

Интересно, что К3 и его катион обладают чрезвычайно слабой флуоресценцией, интенсивность которой примерно в 1000 меньше, чем у К1 и К4. Отсутствие флуоресценции у К3 может быть обусловлено особенностями деградации электронной энергии из S_1 -состояния по сравнению с К1 и К4. Для выяснения этих вопросов были привлечены данные квантово-химических расчетов.

Квантово-химические исследования

Результаты квантово-химических расчетов (энергия перехода $S_0 \rightarrow S_1$, сила осциллятора и величина дипольного момента) для случая плоской геометрии молекул приведены в табл. 1. Расчетные значения энергий перехода $S_0 \rightarrow S_1$ выше экспериментальных на 1500–2000 см^{-1} . Это связано с тем, что в расчетах рассматривается изолированная молекула без учета влияния межмолекулярных взаимодействий с растворителем. Вместе с тем наблюдается хорошая корреляция с экспериментом спектрального положения ионных форм относительно нейтральной молекулы.

Катион в расчетах моделировался присоединением протона как к карбонильному кислороду, так и к азоту бензоизоцисального цикла. Из таблицы видно, что поглощение обеих катионных форм сдвинуто в красную область относительно поглощения НФ. Более того, положение полос поглощения этих форм близко, отличается на $\sim 1000 \text{ см}^{-1}$. Расчетные данные, таким образом, не

дают однозначного ответа, по какому центру происходит протонирование. Можно апеллировать только к опосредованным экспериментальным данным [6], из которых следует, что протонирование карбонильного кислорода возможно в очень кислых растворах, и в нашем случае первое протонирование более вероятно по азоту бензоизоцисального кольца.

Рассчитанное значение энергии перехода $S_0 - S_1$ цвяттериона К4 (ТМ1) лежит на 3000 см^{-1} выше, чем для аниона. Как видно из табл. 1, соответствующее экспериментально наблюдаемое $\Delta\nu$ составляет 1250 см^{-1} . Расхождение расчетного значения с экспериментальным обусловлено прежде всего сольватохромными свойствами растворителя, которые в расчетах не учитываются.

Помимо вышеупомянутого цвяттериона ТМ1 квантово-химическое исследование проведено для двух других таутомеров – цвяттерионов, у которых протон локализован на атоме азота бензоизоцисального цикла (ТМ2) и на карбонильном кислороде (ТМ3). Образование этих таутомеров более вероятно в протоносодержащих растворителях, поскольку внутримолекулярный перенос протона вследствие отдаленности донорного и акцепторного центров маловероятен – в отличие от ТМ1. Из табл. 1 видно, что поглощение ТМ2 и ТМ3 должно находиться в более красной области спектра по отношению к аниону, в то время как ТМ1 – в голубой. Этот факт согласуется с экспериментальными данными: полоса поглощения в области 21300 см^{-1} , приписываемая цвяттериону, расположена в более коротковолновой области по отношению к поглощению аниона. Привлечение расчетных данных, таким образом, позволяет отдать предпочтение существованию в растворах цвяттериона типа ТМ1.

Из табл. 1 видно, что К3 в равных с остальными молекулами условиях имеет такую же силу осциллятора перехода. Действительно, молярный коэффициент экстинкции НФ всех соединений близок: 37000, 40000 и 38000 $\text{M}^{-1} \text{ см}^{-1}$ для К1, К3 и К4 соответственно.

Схема нескольких возбужденных синглетных и триплетных состояний, их молекулярная природа

Таблица 2. Заряд на кислороде гидроксильной группы (ат. ед.)

Соединение	S_0 -состояние	S_1 -состояние
K1	-0.104	-0.083
K4	-0.093	-0.060
K3	-0.324	-0.322

и константы скорости дезактивации состояния S_1 молекул представлены на рис. 4. Из схемы становятся понятны причины очень слабой флуоресценции K3. Несмотря на то что константа радиационного распада k_r для всех соединений одинакова, для соединения K3 открывается конкурирующий канал интеркомбинационной конверсии. Для K1 и K4 близко расположенные к состоянию S_1 являются триплеты природы $\pi\pi^*$, и константа скорости ухода молекул в триплетное состояние примерно на порядок ниже, чем константа радиационного распада. У соединения K3 чуть выше состояния S_1 находится триплетное состояние типа $\pi\pi$. Между состояниями $S_1(\pi\pi)$ и $T_4(\pi\pi)$ осуществляется сильное интеркомбинационное взаимодействие (k_{ST} превосходит k_r в 10^3 раз), в результате которого основным каналом дезактивации возбужденного состояния этой молекулы является интерконверсия.

Анализ электронной плотности на атоме кислорода гидроксильной группы показал, что у K3 она действительно значительно выше по сравнению с K1 и K4 и не изменяется при возбуждении (табл. 2). Связь O—H в этой молекуле прочнее, а на практике не наблюдается образования аниона.

Генерационные свойства

Генерационная способность соединений исследована в растворах ДМСО. В табл. 3 приведены длины волн генерации, ЛИФ, полученной при возбуждении XeCl-лазером для высоких концентраций (2×10^{-3} M), и обычной флуоресценции, за-

регистрированной при низких концентрациях красителя (10^{-5} M) с помощью спектрофлуориметра. Прежде всего можно заметить, что спектры ЛИФ относительно обычных спектров флуоресценции сдвинуты в красную область более чем на 30 нм. Вероятно, это является следствием эффекта реабсорбции при высоких концентрациях, потому что регистрация осуществлялась в плоскости, перпендикулярной возбуждению.

На рис. 5 представлены спектры генерации и ЛИФ соединений K1, K2 и K4 в ДМСО. Соединение K3 в силу очень слабой флуоресценции не генерирует лазерное излучение. Спектр генерации K1 (рис. 5a) лежит в области, далекой от максимума полосы излучения — $\lambda_{\text{ген}} = 518$ нм. Можно было бы предположить, что генерация развивается в полосе излучения аниона, поскольку, как отмечалось выше, соединение K1 в ДМСО частично диссоциировано, а низкую эффективность генерации (3%) можно было бы объяснить малым содержанием аниона в растворе. Однако такая же ситуация наблюдается и для K2 (рис. 5b), у которого образование аниона невозможно и эффективность генерации достаточно низка (КПД = 1.8%). Следовательно, генерация, наблюдавшаяся у соединений K1 и K2 в ДМСО, принадлежит НФ молекул, а низкая эффективность генерации и развитие ее на длинноволновом крыле полосы ЛИФ обязаны каким-то потерям (например, поглощению $T-T$), имеющим место в более коротковолновой области спектра излучения.

Для K4 спектр генерации (рис. 5в) лежит в области максимума ЛИФ и нет сомнения, что генерация принадлежит цвиттериону. При добавлении в раствор щелочи, которая способствует образованию анионной формы молекул, наблюдались сдвиг полосы генерации в красную область и рост эффективности генерации. Так, для K1 КПД возрастает до 25%, для K4 — до 12%. Более низкий КПД генерации аниона K4 согласуется с его более слабой

Таблица 3. Флуоресцентные и генерационные характеристики молекул в ДМСО

Соединение	$\lambda_{\text{ФЛ}}$, нм ($C = 10^{-5}$ M)	ЛИФ, нм ($C = 2 \times 10^{-3}$ M)	$\lambda_{\text{ген}}$, нм ($C = 10^{-5}$ M)	КПД, %	Концентрации кислоты и щелочи при изучении генерации, M
K1	450, 475	485, 505	518	3	—
K1 + NaOH	505	540	541	25	3.4×10^{-3}
K1 + HCl	485	503	510	0.4	4.4
K2	440, 465	477, 500	532	1.8	—
K2 + HCl	480	477, 500	519	1.7	1.7
K4	495	524	525	6	—
K4 + NaOH	515	545	550	12	3.3×10^{-3}
K4 + HCl	485, 515	522	522	4.4	2.9
K3	445	503			Нет генерации

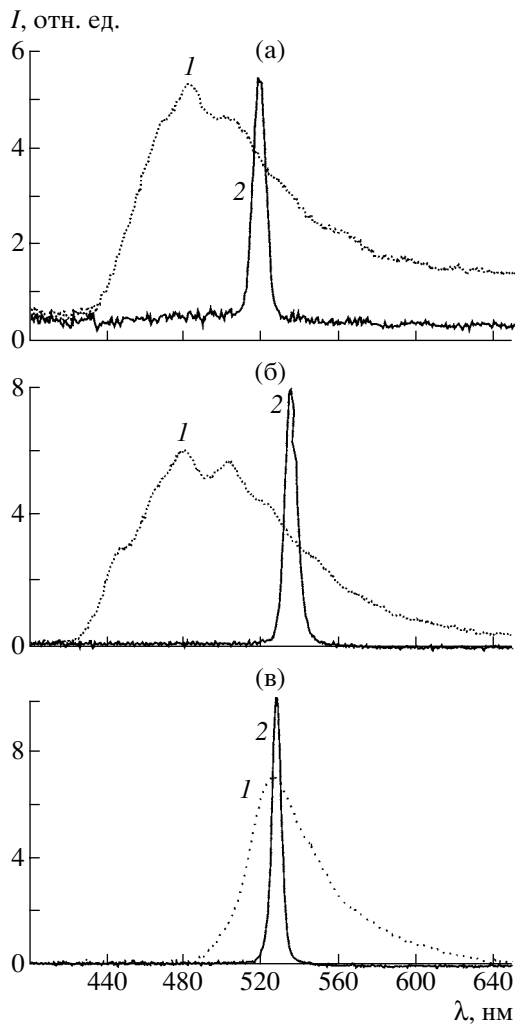


Рис. 5. Спектры ЛИФ (1) и генерации (2): а – К1, б – К2, в – К4 в ДМСО.

флуоресценцией по сравнению с анионом К1, как это отмечалось выше.

Катионные формы молекул К1, К2 и К4 в ДМСО при добавке к растворам необходимой порции кислоты также генерировали лазерное излучение, хотя и с невысоким значением КПД. В отличие от нейтральной формы генерация анионов и катионов развивалась в области максимума полосы ЛИФ.

Таким образом, все протолитические формы (нейтральная, анион, катион, цвиттерион) генерируют лазерное излучение при накачке XeCl-лазером, причем анион обладает наиболее высокой эффективностью преобразования излучения накачки.

ЗАКЛЮЧЕНИЕ

Спектрально-люминесцентные свойства и способность образования протолитических форм для 7- и 8-гидроксикумаринов заметно различаются. Показано, что группа О–Н в 8-гидроксикумарине К3 значительно менее кислая, чем у 7-гидроксикумарина К1, вследствие чего первая не образует анион. Отсутствие флуоресценции и генерации у 8-гидроксикумарина К3 связано с сильным интеркомбинационным взаимодействием в этой молекуле, приводящим к диссипации энергии возбуждения преимущественно через триплетные состояния.

Квантово-химические расчеты показали, что из трех возможных тautомеров-цвиттерионов соединения К4 наиболее вероятно существование тautомера, образованного путем внутримолекулярного переноса протона от гидроксильной группы к аминному азоту заместителя в 8-м положении.

Эффективность генерации лазерного излучения 7-гидроксикумаринов возрастает при переводе всех молекул в форму аниона.

СПИСОК ЛИТЕРАТУРЫ

1. *Elnagdi Mohamed H., Abdallah Sanaa O., Ghoneim Kh-adiga M., Ebied Elzeni M., Kassab Kawser N.* // J. Chem. Res. (S). 1997. P. 44–45.
2. Артиюхов В.Я., Галеева А.И. // Изв. вузов СССР. Физика. 1986. № 11. С. 96–100.
3. Плотников В.Г. Автореф. докт. дис. Обнинск, 1980.
4. Плотников В.Г., Долгих Б.А. // Опт. и спектр. 1977. Т. 43. В. 5. С. 882–890.
5. Майер Г.В., Данилова В.И. Квантовая химия, строение и фотоника молекул. Томск: Изд-во Томского ун-та, 1992. 218 с.
6. Пономарев О.А., Васина Е.Р., Ярмоленко С.Н., Митина В.Г. // ЖОХ. 1985. Т. 55. № 1. С. 179–183.
7. Moriya T. // Bull. Chem. Soc. J. 1983. V. 56. № 1. P. 6–14.